

GF(p) 상의 제곱근 연산의 효율적인 하드웨어 구현

An Efficient Hardware Implementation of Square Root Computation over GF(p)

최준영*, 신경욱*

Jun-Yeong Choe*, Kyung-Wook Shin*

Abstract

This paper describes an efficient hardware implementation of modular square root (MSQR) computation over $GF(p)$, which is the operation needed to map plaintext messages to points on elliptic curves for elliptic curve (EC)-ElGamal public-key encryption. Our method supports five sizes of elliptic curves over $GF(p)$ defined by the National Institute of Standards and Technology (NIST) standard. For the Koblitz curves and the pseudorandom curves with 192-bit, 256-bit, 384-bit and 521-bit, the Euler's Criterion based on the characteristic of the modulo values was applied. For the elliptic curves with 224-bit, the Tonelli-Shanks algorithm was simplified and applied to compute MSQR. The proposed method was implemented using the finite field arithmetic circuit with 32-bit datapath and memory block of elliptic curve cryptography (ECC) processor, and its hardware operation was verified by implementing it on the Virtex-5 field programmable gate array (FPGA) device. When the implemented circuit operates with a 50 MHz clock, the computation of MSQR takes about 18 ms for 224-bit pseudorandom curves and about 4 ms for 256-bit Koblitz curves.

요약

본 논문에서는 $GF(p)$ 상에서 모듈러 제곱근 (MSQR) 연산의 효율적인 하드웨어 구현에 대해 기술한다. MSQR 연산은 타원곡선 기반의 EC-ElGamal 공개키 암호를 위해 평문 메시지를 타원곡선 상의 점으로 매핑하기 위해 필요하다. 본 논문의 방법은 NIST 표준으로 규정된 5가지 크기의 $GF(p)$ 타원곡선을 지원하며, 192-비트, 256-비트, 384-비트 그리고 521-비트 크기의 Koblitz 곡선과 슈도 랜덤 곡선들은 모듈러 값의 특성을 기반으로 오일러 판정법을 적용하고, 224-비트 크기의 경우에는 Tonelli-Shanks 알고리즘을 간략화시켜 적용하였다. 제안된 방법을 ECC 프로세서의 32-비트 데이터 패스를 갖는 유한체 연산회로와 메모리 블록을 이용하여 구현하였으며, FPGA 디바이스에 구현하여 하드웨어 동작을 검증하였다. 구현된 회로가 50 MHz 클럭으로 동작하는 경우에, 224-비트 슈도 랜덤 곡선의 경우에는 MSQR 계산에 약 18 ms가 소요되고, 256-비트 Koblitz 곡선의 경우에는 약 4 ms가 소요된다.

Key words : ECC, EC-ElGamal, Modular square root, Euler's Criterion, Tonelli-Shanks algorithm

* School of Electronic Engineering, Kumoh National Institute of Technology

★ Corresponding author

E-mail : kwshin@kumoh.ac.kr, Tel : +82-54-478-7427

※ Acknowledgment

- This research was supported by the KIAT(Korea Institute for Advancement of Technology) grant funded by the Korea Government(MOTIE : Ministry of Trade Industry and Energy). (No. N0001883, HRD Program for Intelligent semiconductor Industry)
- This work was supported by Basic Science Research Program through the National Research Foundation of Korea (NRF) funded by the Ministry of Education (No. 2017R1D1A3B03031677)
- Authors are thankful to IDEC for supporting EDA software.

Manuscript received Dec. 10, 2019; revised Dec. 26, 2019; accepted Dec. 27, 2019.

This is an Open-Access article distributed under the terms of the Creative Commons Attribution Non-Commercial License (<http://creativecommons.org/licenses/by-nc/3.0>) which permits unrestricted non-commercial use, distribution, and reproduction in any medium, provided the original work is properly cited.

I. 서론

타원곡선 암호(elliptic curve cryptography: ECC) [1]는 RSA, Diffie-Hellman (DH)과 같은 기존의 공개키 암호 방식에 비해 짧은 키 길이를 사용하면 서도 유사한 보안 강도를 얻을 수 있고, 빠른 연산 속도, 적은 메모리 요구량 등의 장점들을 가져 대표적인 공개키 암호 방식으로 자리 잡아 가고 있다. ECC 기반의 공개키 암호 체계는 드론, 자율주행 자동차 등의 통신 네트워크 보안과 블록체인의 트랜잭션 검증을 위한 전자서명/검증 등에 필수적으로 사용되고 있다.

ECC를 기반으로 하는 공개키 암호 프로토콜들이 정보보안 표준으로 채택되고 있으며, 전자서명/검증을 위한 EC-DSA(Elliptic Curve Digital Signature Algorithm) [2], 키교환을 위한 EC-DH(Elliptic Curve Diffie Hellman) [3], 대칭키 암호와 ECC를 결합한 ECIES (Elliptic Curve Integrated Encryption Scheme) [4], 메시지 암호/복호와 전자서명을 위한 EC-ElGamal [5] 등이 다양한 분야에 사용되고 있다. EC-ElGamal은 엘가말 (ElGamal) 공개키 암호 [6]를 타원곡선 암호 기반으로 구현한 방식이다. 엘가말 암호는 이산대수 문제(discrete logarithm problem: DLP)를 안전성의 근거로 하는 최초의 공개키 암호방식이며, 전자서명과 메시지 암호/복호를 위해 사용된다.

EC-ElGamal에 의한 공개키 암호를 위해서는 암호화될 평문 메시지를 EC 상의 한 점으로 매핑해야 한다. 평문 메시지 m 을 EC 상의 한 점 $P_m(x,y)$ 로 매핑하기 위해서는 m 을 타원곡선 방정식의 x 에 대입하여 y^2 를 계산하고, 모듈러 제곱근(modular square root: MSQR) 연산을 통해 EC 상의 y 좌표 값을 계산해야 한다. 실수계(real number) 연산과는 다르게, 정수계(integer number)에서는 제곱수가 존재하는 이차잉여(quadratic residue: QR)인 경우에만 제곱근을 구할 수 있다. 평문 메시지 m 을 EC 상의 한 점으로 매핑하는 방법과 MSQR 계산을 위한 방법들이 제안되고 있으며[7-9], 소프트웨어로 구현한 사례들은 발표되고 있으나 하드웨어 구현 사례는 없는 것으로 조사되었다.

EC-ElGamal 공개키 암호의 하드웨어 구현을 위해서는 MSQR 연산의 효율적인 하드웨어 구현이 필요하며, 본 논문에서는 $GF(p)$ 상의 MSQR 연산

의 효율적인 하드웨어 구현 방법을 제안하고, 회로 구현과 검증 결과에 대해 기술한다. II장에서는 $GF(p)$ 상의 MSQR 계산을 위한 수학적 방법들에 대해 간략히 소개하고, III장에서는 오일러 판정법 (Euler's criterion)과 Tonelli-Shanks 알고리즘을 적용하여 MSQR 계산을 하드웨어로 구현하는 방법을 설명한다. IV장에서는 본 논문에서 제안된 방법을 FPGA 디바이스에 구현하여 하드웨어 동작을 확인한 검증 결과에 대해 기술하고, V장에서 결론을 맺는다.

II. $GF(p)$ 상의 MSQR 연산

ECC는 소수체 (prime field) $GF(p)$ 또는 이진체 (binary field) $GF(2^m)$ 상의 타원곡선 군 (group)을 기반으로 하며, $GF(p)$ 상의 타원곡선 EC 는 식 (1)과 같이 정의된다. 타원곡선에 따라 생성점, 생성점의 위수 (order), 타원곡선 계수 (a, b), 모듈러 값 등의 도메인 파라미터가 표준으로 정의되어 있다.

$$EC: y^2 = x^3 + ax + b, (4a^3 + 27b^2 \neq 0) \quad (1)$$

메시지 m 을 EC 상의 점 $P_m(x,y)$ 로 매핑하기 위해서는 $x=m$ 을 식 (1)의 타원곡선 방정식에 대입하여 y^2 을 구한 후, y^2 의 모듈러 제곱근 y 를 구해야 한다. 먼저, 식 (2)를 만족하는 y 를 찾는 문제를 생각한다.

$$y^2 \equiv n \pmod{p} \quad (2)$$

홀수인 소수 p 와 정수 n 에 대해, $\left(\frac{n}{p}\right)=1$ 인 경우 방법 (modulo) p 에 대한 합동식 식 (2)의 해가 존재하며, 이 때의 n 을 법 p 에 대한 QR이라고 한다. 여기서 $\left(\frac{n}{p}\right)$ 은 QR과 이차비잉여(quadratic nonresidue: QNR)를 나타내는 Legendre 기호이며, 어떤 수가 QR이면 제곱근이 존재함을 의미한다. 식 (2)의 해를 구하는 방법은 법 p 의 특성에 따라 달라진다.

1. 오일러 판정법 (Euler's Criterion) 적용

식 (2)의 해가 존재하여 $\left(\frac{n}{p}\right)=1$ 인 경우를 생각한다. $\gcd(n,p)=1$ 이므로 $\gcd(y,p)=1$ 이다. 페르마 소정리에 의해 $y^{p-1} \equiv 1 \pmod{p}$ 이므로, $n^{(p-1)/2} \equiv y^{p-1} \equiv 1 \pmod{p}$

가 되어 식 (3)의 관계가 성립한다.

$$\left(\frac{n}{p}\right) = 1 \equiv n^{(p-1)/2} \pmod{p} \tag{3}$$

따라서 $p = 4k + 3$ 를 만족하는 경우에 오일러 판정법에 의해 식 (2)의 해는 $y \equiv n^{k+1} \pmod{p}$ 가 되므로, 식 (4)로 쉽게 구할 수 있다. [10, 11]

$$y \equiv n^{(p+1)/4} \pmod{p} \tag{4}$$

NIST 표준 [2]에 규정된 소수체 타원곡선 중, 192-비트, 256-비트, 384-비트, 521-비트의 Koblitz 곡선과 슈도랜덤 곡선들은 $p = 4k + 3$ 을 만족하는 법 p 를 가지므로, 식 (4)에 의해 식 (2)의 해인 모듈러 제곱근 y 를 쉽게 구할 수 있다.

2. Tonelli-Shanks 알고리즘

NIST 표준에 규정된 224-비트 소수체 타원곡선은 법 p 가 $p \equiv 1 \pmod{4}$ 이므로, 식 (4)에 의해 MSQR을 계산할 수 없다. 식 (2)의 해를 구하기 위한 일반 해법으로 Tonelli-Shanks 알고리즘 [12]를 비롯한 다양한 방법들이 제안되고 있다[13, 14]. Tonelli-Shanks 알고리즘은 $GF(p)$ 에서 모듈러 지수승(exponentiation) 연산을 기반으로 해를 구한다.

본 논문에서는 NIST P-224 Koblitz 곡선과 슈도랜덤 곡선의 법 p 에 대한 MSQR을 효율적으로 계산할 수 있도록 Tonelli-Shanks 알고리즘을 간략

화하여 회로설계에 적용하였으며, 그림 1은 간략화된 Tonelli-Shanks 알고리즘의 슈도코드이다. 개략적인 연산과정은 다음과 같다. 단계-1에서는 $GF(p)$ 의 원소 x 와 타원곡선의 계수들을 이용하여 z 를 계산한다. 단계 2는 NIST P-244 Koblitz 곡선과 슈도랜덤 곡선인 경우 고정되는 값들을 입력하는 단계이며, 법 p 가 일정한 값이기 때문에 이차 비잉여인 v 와 $2^S \times Q = p - 1$ 을 만족하는 정수인 S 와 홀수인 Q 는 특정한 값으로 고정되고 c 와 E 또한 $c = v^Q \pmod{p}$ 이고, $E = S$ 이므로 고정된 값이 된다. 단계-4부터 단계-10까지의 반복문은 $h = z^{(p-1)/2}$ 과 $t = z^Q$ 를 계산하는 단계이다. 이때 t 는 단계-8의 조건을 만족할 경우 h 를 계산하는 과정의 중간 결과값이 된다. $h \neq 1$ 이면 MSQR이 존재하지 않는 경우이며, 연산을 종료하고 새로운 x 값을 기다린다. $h = 1$ 이면 MSQR이 존재하는 경우이며, 단계-16으로 이동하여 이후의 연산과정을 수행하며, 최종 R 값이 MSQR이다.

III. $GF(p)$ MSQR 연산의 하드웨어 구현

본 논문에서는 그림 2의 ECC 프로세서 [15] 내부의 32-비트 데이터패스를 갖는 유한체 연산회로와 메모리를 이용하여 $GF(p)$ 상의 MSQR 연산을 하드웨어로 구현했다. DF_ALU은 32-비트 데이터패스로 유한체 연산을 수행하는 블록이며, Data_MEM은 32-비트×342 단일포트 RAM을 사용하며 유한체 연산의 중간결과 값과 유한체 곱셈에 사용되는 파라미터 값들을 저장한다. REGs 블록 내부의 ALU_Data에는 유한체 연산과정에 사용되는 데이

Input: x, a, b, p	17: if $t = 1$ then
Output: R	18: go to step 35
1: $z \leftarrow x^3 + ax + b$	19: else
2: $S, Q, c, E \leftarrow$ given values;	20: $u \leftarrow t$;
3: $R_0 \leftarrow 1; R_1 \leftarrow z$;	21: for $i = 1$ up to $E - 1$ do
4: for $i = m - 1$ down to 1 do	22: $u \leftarrow u \times u \pmod{p}$;
5: $R_0 \leftarrow R_0 \times R_0 \pmod{p}$;	23: if $u = 1$ then
6: if $p_i = 1$ then	24: go to step 25
7: $R_0 \leftarrow R_0 \times R_1 \pmod{p}$;	25: $d \leftarrow c^{2^{E-i-1}} \pmod{p}$;
8: else if $i = S$ then	26: $R \leftarrow R \times d \pmod{p}$;
9: $t \leftarrow R_0$;	27: if $i = 1$ then
10: end for	28: go to step 35
11: $h \leftarrow R_0$;	29: else
12: if $h = 1$ then	30: go to step 31
13: go to step 16	31: $c \leftarrow d^2 \pmod{p}$;
14: else	32: $t \leftarrow d^2 \times u \pmod{p}$;
15: Return 0	33: $E \leftarrow i$;
16: $R \leftarrow z^{\frac{Q+1}{2}} \pmod{p}$;	34: go to step 17
	35: Return R

Fig. 1. Pseudo code of simplified Tonelli-Shanks algorithm for NIST P-224 elliptic curves.

그림 1. NIST P-224 타원곡선을 위한 간략화된 Tonelli-Shanks 알고리즘의 슈도코드

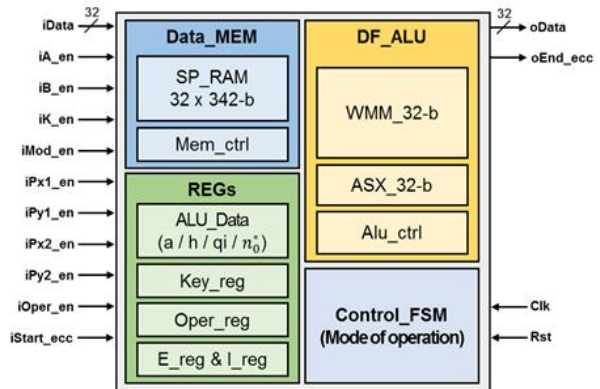


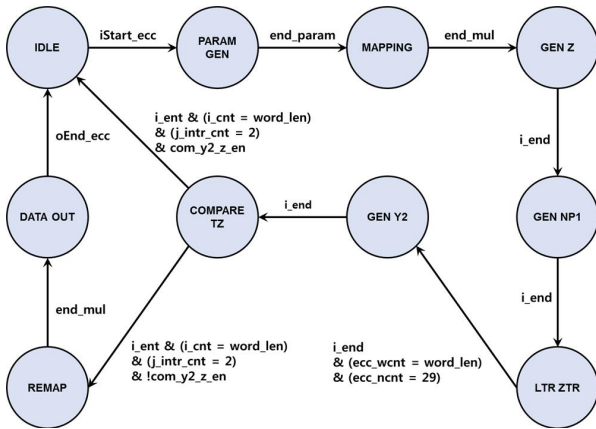
Fig. 2. Architecture of DF-ECC processor.

그림 2. DF-ECC 프로세서의 구조

```

Input: x, a, b, p
Output: R
1: z ← x3 + ax + b
2: R ← z $\frac{p+1}{4}$  mod p;
3: u ← R × R mod p;
4: if u = z then
5: go to step 8
6: else
7: go to step 1
8: Return R
    
```

(a) pseudo code



(b) stage transition diagram

Fig. 3. Modular square root computation in the case of $p \equiv 3 \pmod{4}$.

그림 3. $p \equiv 3 \pmod{4}$ 인 경우의 모듈러 제곱근 계산

터가 저장되고, Oper_reg는 타원곡선과 연산모드 관련 정보가 저장되며, E_reg와 I_reg에는 그림 1의 간략화된 Tonelli-Shanks 알고리즘 슈도코드의 E와 i 값이 저장된다.

NIST 표준에 규정된 소수체 타원곡선 중, 법 p가 $p \equiv 3 \pmod{4}$ 인 타원곡선 크기 192-비트, 256-비트, 384-비트, 그리고 521-비트의 경우에는 식 (4)를 적용하여 모듈러 제곱근을 연산하고, $p \equiv 1 \pmod{4}$ 인 키 길이 224-비트의 경우에는 그림 1의 간략화된 Tonelli-Shanks 알고리즘의 슈도코드를 적용하여 연산이 이루어지도록 설계하였다.

그림 3은 식 (4)에 의한 모듈러 제곱근 연산을 하드웨어로 구현하기 위한 슈도코드와 세부 연산과정의 동작 상태천이도이다. PARAM_GEN 상태에서는 합동(congruence) 연산에 사용되는 값 $-p_0^{-1} \pmod{2^{32}}$ (단, p_0 는 법 p의 최하위 워드)와 몽고메리 도메인으로 변환에 사용되는 R^2 (단, $R=2^{fs}$, fs 는 필드 크기를 나타내는 비트 수) 값을 생성한다. MAPPING 상태에서는 타원곡선 상의 점에 R^2 을 곱해서 몽고메리 도메인으로 변환이 이루어지며, GEN_Z 상태

에서는 슈도코드의 단계-1에 해당하는 연산이 수행된다. GEN_NP1 상태에서는 슈도코드의 단계-2에서 사용될 $p+1$ 을 계산하며, LTR_ZTR 상태에서는 슈도코드 단계-2의 멱승 연산이 진행된다. 멱승 연산은 left-to-right (LR)이진 알고리즘을 이용하여 계산된다. GEN_Y2 상태에서는 단계-3 연산이 수행되고, 이 값을 COMPARE_TZ 상태에서 기존의 z값과 비교한다. 두 값이 일치하면 REMAP 상태로 이동하여 몽고메리 도메인 결과를 일반 도메인으로 역변환하고, 그렇지 않은 경우에는 IDLE 상태로 돌아가 새로운 x 값을 입력받을 때까지 대기한다. 마지막으로, DATA_OUT 상태에서는 역변환 과정을 거친 최종결과 값을 외부로 출력하며, 출력이 완료된 후에는 IDLE 상태로 돌아간다.

그림 4는 그림 1의 간략화된 Tonelli-Shanks 알고리즘을 하드웨어로 구현하기 위한 세부 연산과정의 동작 상태천이도이다. IDLE 상태에서부터 GEN_Z 상태까지는 그림 3-(b)와 동일하게 진행이 된다. LTR_ZTR 상태에서는 그림 1의 슈도코드의 h, t, R, d 값을 LR 이진 알고리즘을 이용하여 계산한다. COMPARE_TZ 상태는 연산된 h 값과 t 값이 1인지 판단을 하는 단계이며, GEN_EMI 상태는 그림 1의 슈도코드의 단계-25에서 사용될 $E-i-1$ 를 계산한다. LTR_B 상태에서는 슈도코드의 단계-25의 연산을 수행하고, GEN_R 상태에서는 단계-26의 연산을 통해 R 값을 계산한다. GEN_CT 상태에서는 단계-31과 단계-32의 c 값과 t 값을 계산하며, 이 상태가 끝나면 $t=1$ 인지 판단하는 COMPARE_TZ

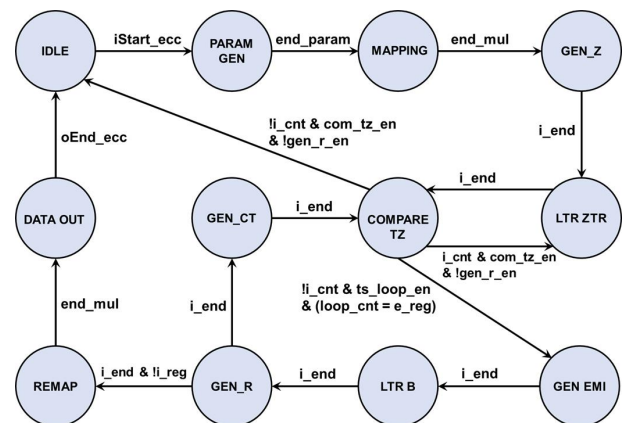


Fig. 4. Modular square root computation based on Tonelli-Shanks algorithm (in the case of $p \equiv 1 \pmod{4}$).

그림 4. 간략화된 Tonelli-Shanks 알고리즘에 의한 모듈러 제곱근 계산 ($p \equiv 1 \pmod{4}$ 인 경우)

라미터 생성 및 Montgomery 도메인으로 변환에 소요되는 클럭 사이클 수를 나타내고, COM_Y2Z는 계산된 제곱근의 유효성 확인에 소요되는 클럭 사이클 수를 나타낸다. 그림 1의 간략화된 Tonelli-Shanks 알고리즘을 적용하는 경우에는 입력되는 메시지 x 에 따라 MSQR 연산에 소요되는 클럭 사이클 수가 달라지며, 표 1에는 임의의 메시지 데이터에 대한 반복 연산의 평균값을 제시하였다. 구현된 회로가 50 MHz 클럭 주파수로 동작하는 경우에, 224-비트 슈도 랜덤 곡선의 경우에는 MSQR 연산에 약 18 ms가 소요되며, 256-비트 Koblitz 곡선의 경우에는 약 4 ms가 소요되는 것으로 평가되었다.

Table 1. Number of clock cycles used to compute MSQR depending on elliptic curve size.

표 1. 타원곡선 크기에 따른 MSQR 계산에 소요되는 클럭 수

Field Size	Data Input	Param GEN	ECPMAP	COM Y2Z	Dout	Total
P192K	26	17,005	77,442	222	210	94,905
P192R	26	17,005	66,018	222	210	83,481
P224K	30	23,343	352,179	0	273	375,825
P224R	30	23,343	874,354*	0	273	898,000*
P256K	34	30,077	170,184	360	334	200,989
P256R	34	30,077	98,616	360	334	129,421
P384R	50	67,357	470,052	732	708	538,899
P521R	70	134,837	727,005	1,377	1,343	864,632

* data dependent(average values)

V. 결론

본 논문에서는 EC-ElGamal 공개키 암호를 위해 필요한 모듈러 제곱근 연산의 하드웨어 구현 방법을 제안하고, ECC 프로세서의 유한체 연산회로와 메모리를 이용하여 $GF(p)$ 상에서의 제곱근 연산을 하드웨어로 구현하였다. 설계된 MSQR 연산회로를 Virtex-5 FPGA 디바이스에 구현하여 하드웨어 동작을 검증하였으며, 소프트웨어 연산 결과와 일치하여 올바르게 동작하는 것을 확인하였다. $GF(p)$ 상에서의 제곱근 연산이 구현된 ECC 프로세서를 Virtex 5 XC5VSX95T 디바이스로 합성한 결과 1,128 슬라이스로 구현되었으며, 약 50 MHz의 클럭 주파수로 동작 가능성을 확인하였다. 본 논문에서는 제안

된 MSQR 연산방법을 32-비트 데이터패스의 유한체 연산회로와 메모리를 사용하여 구현하였으나, 데이터패스 비트 수가 큰 유한체 연산회로에 구현하면 소요되는 클럭 사이클 수가 작아져 고속연산이 가능하다.

References

[1] N. Koblitz, "Elliptic curve cryptosystems," *Mathematics of Computation*, vol.48, no.177, pp. 203-209, 1987.
DOI: 10.1090/S0025-5718-1987-0866109-5

[2] National Institute of Standards and Technology (NIST), *Digital Signature Standard (DSS)*, FIPS 186-3, 2009.

[3] SECG SEC1, *Elliptic Curve Cryptography*, Standards for Efficient Cryptography Group, ver.2, 2009, <http://www.secg.org/download/aid-780/sec1-v2.pdf>.

[4] V. Gayoso Martínez, F. Hernández Álvarez, L. Hernández Encinas and C. Sánchez Ávila, "A comparison of the standardized versions of ECIES," *2010 Sixth International Conference on Information Assurance and Security*, Atlanta, pp.1-4, 2010. DOI:10.1109/ISIAS.2010.5604194

[5] K. Rabah, "Elliptic Curve ElGamal Encryption and Signature Schemes," *Information Technology Journal*, vol.4, no.3, pp.299-306, 2005.
DOI: 10.3923/itj.2005.299.306

[6] T. ElGamal, "A Public Key Cryptosystem and a Signature Scheme Based on Discrete Logarithms," *IEEE Transactions on Information Theory*, vol.31, no.4, pp.469-472, 1985.
DOI: 10.1109/TIT.1985.1057074

[7] W. Trappe, and L. C. Washington. *Introduction to Cryptography with Coding Theory. 2nd Edition*, Prentice Hall, 2006.

[8] Z. E. Dawahdeh, S. N. Yaakob and A. M. Sagheer, "Modified ElGamal Elliptic Curve Cryptosystem using Hexadecimal Representation," *Indian Journal of Science and Technology*, vol.8, No.15, pp.1-7, 2015.
DOI: 10.17485/ijst/2015/v8i15/64749

[9] B. King, "Mapping an Arbitrary Message to an Elliptic Curve when Defined over $GF(2^n)$," *International Journal of Network Security*, vol.8, no.2, pp.169-176, 2009.

DOI: 10.1016/j.jnca.2015.11.011

[10] E. Bach and K. Huber, "Note on Taking Square-Roots Modulo N ," *IEEE Transactions on Information Theory*, vol.45, no.2, pp.807-809, 1999. DOI: 10.1109/18.749034

[11] "Computing square roots mod p ," <http://course1.winona.edu/eerrthum/13Spring/SquareRoots.pdf>

[12] D. Shanks, "Five Number-Theoretic Algorithms," *Proceedings of the Second Manitoba Conference on Numerical Mathematics*, Congressus Numerantium, no.VII, pp.51-70, 1973.

[13] G. Tornara, "Square roots modulo p ," in *LATIN 2002: Theoretical Informatics*, S. Rajsbaum, Ed. Berlin, Germany: Springer, pp.430-434, 2002. DOI: 10.1007/3-540-45995-2_38

[14] G. Adj and F. Rodriguez-Henriquez, "Square Root Computation over Even Extension Fields," *IEEE Transactions on Computers*, vol.63, no.11, pp.2829-2841, 2014. DOI: 10.1109/TC.2013.145

[15] S. H. Lee and K. W. Shin, "An Area-efficient Design of ECC Processor Supporting Multiple Elliptic Curves over $GF(p)$ and $GF(2^m)$," *Proceedings of Conference on Korea Information and Communication Engineering*, vol.23, no.1, pp.254-256, 2019.

DOI: 10.1109/ACCESS.2019.2958491

Kyung-Wook Shin (Member)



1984 : BS degree in Electronic Engineering, Korea Aerospace University

1986 : MS degree in Electronic Engineering, Yonsei University

1990 : Ph.D. degree in Electronic Engineering, Yonsei University

1990~1991 : Senior Researcher, Semiconductor Research Center, Electronics and Telecommunications Research Institute (ETRI)

1991~ : Professor in School of Electronic Engineering, Kumoh National Institute of Technology

1995~1996 : University of Illinois at Urbana-Champaign (Visiting Professor)

2003~2004 : University of California at San Diego (Visiting Professor)

2013~2014 : Georgia Institute of Technology (Visiting Professor)

BIOGRAPHY

Jun-Yeong Choe (Student Member)



2019 : BS degree in Electronic Engineering, Kumoh National Institute of Technology.

2019~ : Graduate student, Kumoh National Institute of Technology